



سچن از دور و سامانه اطلاعات جغرافیی و منابع طبیعی (سال دوازدهم / شماره سوم) پاییز ۱۴۰۰

نمایه شده در سایت: پایگاه استنادی علوم اسلام، جهاد دانشگاهی، مگ ایران، نورمگز، سیوپلیکا، گوگل اسکولار

آدرس وب سایت: <http://girs.iaubushehr.ac.ir>



بررسی اثر آتشسوزی در مراعع بر تغییرات کربن آلی خاک با استفاده از شاخص‌های مبتنی بر سنجش از دور

مقاله
پژوهشی

سمیه ساعتی زارعی، بهناز عطائیان

دريافت: ۵ بهمن ۱۳۹۹ / پذيرش: ۲۳ اسفند ۱۳۹۹

دسترسی اينترنتي: ۱ مهر ۱۴۰۰

چکیده

مواد و روش‌ها در این تحقیق از هر سایت ۲۰ نمونه خاک از عمق ۰-۱۰ سانتی‌متری (در مجموع ۴۰ نمونه) برداشت شد و با دستگاه GPS مختصات تک‌تک نقاط نمونه‌برداری ثبت گردید. نمونه‌برداری‌ها در فاصله ۱۵ الی ۲۰ روز پس از وقوع آتشسوزی در اوایل مهرماه انجام پذیرفت. نمونه‌ها پس از انتقال به آزمایشگاه جهت اندازه‌گیری میزان کربن آلی خاک مورد استفاده قرار گرفتند. سپس ارتباط آماری بین مناطق شاهد با مناطق دچار آتشسوزی با آزمون t مستقل موردببرسی و تجزیه و تحلیل قرار گرفت. همچنین برآورد غیرمستقیم میزان کربن آلی خاک سطحی در دو سایت شاهد و دچار آتشسوزی شده و بررسی روند تغییرات آن‌ها با استفاده از سنجش از دور تصاویر ماهواره‌ای مورد ارزیابی قرار گرفت. به همین منظور پس از انجام پردازش‌های لازم بر روی داده‌های ماهواره‌ای، مقادیر متانظر بازتاب طیفی هر پیکسل با نقاط نمونه‌برداری در طول موج‌ها و شاخص‌های طیفی مختلف استخراج، و میزان همبستگی و ارتباط رگرسیونی هر یک از آن‌ها با میزان کربن خاک تجزیه و تحلیل قرار گرفت.

نتایج و بحث نتایج حاصل از آزمون همبستگی پیرسون نشان داد که در بین تمام شاخص‌ها طیفی تنها شاخص HI با کربن آلی خاک در کوتاه‌مدت و در منطقه شاهد همبستگی داشته است. همچنین در بین تمام شاخص‌ها، شاخص‌های BI، SAVI، NDVI، NDBI و VCI با مقدار EC در سایت شاهد همبستگی داشتند. در سایت شاهد بین اکثر شاخص‌های طیفی و EC خاک همبستگی معنی‌داری وجود

پیشینه و هدف مراعع جزء آن دسته از زیست‌بوم‌های طبیعی هستند که پخش مهمی از ذخایر کربن خاک را به خود اختصاص داده‌اند و علاوه بر آن به عنوان ذخیره ژنتیکی بسیار متنوعی، تضمین‌کننده پویایی اکوسیستم می‌باشند. آتشسوزی یک عامل طبیعی در مراعع به شمار می‌رود که طی آن اکثر پوشش‌های طبیعی موجود می‌سوزند. بررسی اثرات مثبت و منفی آتشسوزی بر اکوسیستم به‌ویژه بر خصوصیات خاک محققین را بر آن داشته تا به دنبال روش‌های جایگزینی، به جای روش‌های مستقیم و میدانی که عموماً بسیار پرهزینه و وقت‌گیر هستند، باشند. از جمله روش‌ها و فناوری‌های نوینی که در زمینه منابع طبیعی بسیار پرکاربرد و مفید هستند می‌توان به سنجش از دور اشاره کرد. هدف از پژوهش حاضر بررسی اثر کوتاه‌مدت آتشسوزی بر ذخیره کربن آلی، اسیدیتی و هدایت الکتریکی خاک مراعع در منطقه گندم همدان و بررسی قابلیت سنجش از دور در برآورد غیرمستقیم کربن خاک سطحی در مراعع نیمه‌خشک پس از وقوع آتشسوزی است.

سمیه ساعتی زارعی^۱، بهناز عطائیان^(*)^۲

۱. دانشجوی کارشناسی ارشد مرتع داری، دانشکده منابع طبیعی و محیط‌زیست، دانشگاه ملایر، ایران
۲. استادیار گروه مهندسی طبیعت، دانشکده منابع طبیعی و محیط‌زیست، دانشگاه ملایر، ایران

پست الکترونیکی مسئول مکاتبات: attaeian94@gmail.com
<http://dorl.net/dor/20.1001.1.26767082.1400.12.1.1.2>

در عمق ۲۰-۱۰ سانتی‌متری آتش‌سوزی تأثیری در میزان کربن آلی خاک نداشته است اما محققین دیگری مشخص کردند ۶ ماه پس از آتش‌سوزی در خاک‌های سوخته در مقایسه با خاک‌های شاهد میزان کربن افزایش داشته است. مشخص شده است که سه ماه پس از آتش‌سوزی درصد کربن آلی خاک به صورت معنی‌داری کاهش داشته است. همچنین در بررسی دیگری بر روی اثر آتش‌سوزی بر کربن آلی خاک مشخص شده است که در منطقه دچار آتش‌سوزی نسبت به منطقه شاهد در یک سال و دو سال پس از آتش‌سوزی میزان کربن آلی خاک کاهش معنی‌داری داشته است. از آنجاکه اثر آتش‌سوزی بر خصوصیات فیزیکی و شیمیایی خاک به شدت تحت تأثیر شدت آتش‌سوزی، رطوبت خاک، اقلیم و پوشش گیاهی است. لذا تمام این عوامل منجر به حصول نتایج متفاوت در بررسی تأثیر آتش‌سوزی بر کربن آلی خاک گردیده است. با توجه به شرایط محیطی، اقلیم، شیب منطقه، بافت و ساختمان خاک و عوامل مرتبط با آتش‌سوزی نظیر شدت و مدت آن، مقدار کربن خاک تغییر کرده است. برای مثال در صورت وقوع آتش‌سوزی متوسط شرایط برای رویش مجدد پوشش گیاهی سریع‌تر فراهم گردیده است اما در صورت وقوع آتش‌سوزی‌های شدید به طورکلی تمام لایه آلی سطح خاک از بین رفته است و به مرور کربن کاهش داشته است. همچنین در بررسی همبستگی بین شاخص‌های طیفی و کربن آلی خاک مشخص گردید تنها شاخص HI با کربن آلی خاک در سایت شاهد معنی‌دار بوده است اما در سایت دچار آتش‌سوزی هیچ‌گونه همبستگی مشاهده نشده است. این امر را می‌توان به بررسی طیف طول‌موج‌های مرئی آبی و سبز در رابطه ریاضی این شاخص بررسی کرد، زیرا تنها در این شاخص از طیف طول‌موج سبز و آبی استفاده گردیده است. با توجه به نتایج سایر محققین به نظر می‌رسد تخمین کربن آلی خاک با استفاده از سنجش‌ازدور دارای پیچیدگی‌های خاصی است. از آنجاکه کربن آلی خاک با بیشترین تأثیر خود را بر روی رنگ خاک می‌گذارد، لذا اگر مقدار آن کم باشد با استفاده از سنجش‌ازدور امکان تخمین آن ضعیف است.

واژه‌های کلیدی: آتش‌سوزی، مرتع، کربن آلی خاک، شاخص‌های طیفی، سنجش‌ازدور

داشت که پس از آتش‌سوزی این همبستگی در سایت آتش‌سوزی از بین رفته بود. در مورد همبستگی بین pH و شاخص‌های طیفی مشاهده گردید بین برخی از شاخص‌های طیفی و pH همبستگی به وجود آمده است. درواقع می‌توان نتیجه گرفت که آتش‌سوزی باعث تغییر بزرگی در میزان انعکاس و انتشار امواج از سطح خاک گردیده است به‌گونه‌ای که در سایت شاهد شاخص‌ها با EC همبستگی داشتند اما در سایت آتش‌سوزی همبستگی بین شاخص‌ها و pH به‌طور کامل از بین رفته است و در عوض بین شاخص‌ها و pH همبستگی ایجاد گردیده است. همچنین هیچ‌یک از شاخص‌های طیفی در فروردین ۱۳۹۶ در سایت شاهد با SOC همبستگی مثبت یا منفی معنی‌داری نداشتند و نتایج بیانگر این موضوع بود که پس از گذشت شش ماه از وقوع آتش‌سوزی تغییرات کربن خاک به‌گونه‌ای نبوده است که بتوان با شاخص‌های طیفی روند آن را بررسی کرد. در مقایسه نتایج مهر ۱۳۹۵ با نتایج فروردین ۱۳۹۶ در سایت شاهد مشخص گردید که پس از گذشت شش ماه شاخص NBR همبستگی معنی‌داری با میزان EC پیداکرده است اما شاخص‌های BI و VHI همبستگی خود را ازدست‌داده‌اند. با توجه به بحث صورت گرفته در مورد شاخص NBR و حضور باند SWIR2 در آن به نظر می‌رسد با گذشت شش ماه از وقوع آتش‌سوزی، در سایت شاهد تغییراتی به وجود آمده که منجر به ایجاد همبستگی بین این شاخص و EC خاک گردیده است. از آنجاکه مقدار انرژی بازنگشی از سطح زمین به عوامل متعددی نظیر رطوبت خاک، تغییر محتوی ماده آلی خاک و پوشش سطح وابسته است لذا باید تأثیر این عوامل را در فصل رویش بر روی بازتاب خاک مدنظر قرارداد. عدم تغییر این نتایج پس از گذشت شش ماه می‌تواند این موضوع را به اثبات برساند که اثرات مثبت و منفی آتش‌سوزی در دوره‌ای کوتاه‌مدت در حد شش ماه از بین رفته و زمان طولانی‌تری برای بازگشت شرایط به حالت طبیعی نیاز است. نتیجه‌گیری مطابق با بررسی‌های صورت گرفته مشخص گردید که ذخیره کربن آلی خاک در مرتع آتش‌سوزی شده با مراعط شاهد دارای تفاوت معنی‌داری نیست. تغییر شکل و تشییت مواد آلی خاک در اثر آتش توسط محققین زیادی مورد بررسی و توجه قرار گرفته است اما تبدیل و دگرگونی ماده آلی خاک در اثر آتش‌سوزی، اغلب منجر به نتایج ناهمگون و متفاوتی گردیده است. مشخص شده است

اطلاعاتی از مقاله استناد کنید: ساعتی زراعی، س.، عطاییان، ب.، ۱۴۰۰. بررسی اثر آتش‌سوزی در مرتع بر تغییرات کربن آلی خاک با استفاده از شاخص‌های مبتنی بر سنجش‌ازدور، نشریه سنجش‌ازدور و سامانه اطلاعات جغرافیایی در منابع طبیعی، ۱۲(۳): ۸۲-۱۰۰

مقدمه

وقوع رواناب و هدر رفت رسوبات بعد از آتشسوزی، تا حد زیادی به زمان و مکان بستگی دارد (۱۴). البته مواردی نیز مشاهده شده است که خصوصیات فیزیکی خاک ازجمله جرم مخصوص ظاهری، جرم مخصوص حقیقی و بافت خاک، قبل و بعد از آتشسوزی ثابت بوده و تغییری نداشته‌اند (۴ و ۲۷). چگونگی تأثیر آتشسوزی بر مقدار ماده آلی خاک دارای تغییرپذیری زیادی است و به عوامل گوناگونی ازجمله شدت آتش، درصد رطوبت خاک، نوع خاک، نوع مواد سوختنی و شیب زمین بستگی دارد (۱۰). بیشترین اثر آتش بر خاک، از دست رفتن مواد آلی خاک و افزودن خطر فرسایش در مراحل بعد و همچنین تأثیر بر زادآوری گونه‌های گیاهی و شرایط محیط زیستی است (۱۷). در اثر افزوده شدن خاکستر به خاک، میزان قلیاییت زیاد شده، درنتیجه حلالیت کربن افزایش می‌یابد که این امر منجر به افزایش آبسویی کربن از پروفیل خاک می‌گردد (۱۳). زمان آتشسوزی نیز می‌تواند در محتوای کربن خاک بسیار مؤثر باشد. درحالی‌که به نظر می‌رسد آتشسوزی‌های یک‌ساله بهاره تأثیری در میزان کربن سطحی خاک ندارند، اما آتشسوزی‌های پاییزه و زمستانه منجر به کاهش کربن خاک شده‌اند (۹). در آتشسوزی بهاره بقایای باقیمانده می‌توانند به وسیله موجودات حاکزی تجزیه شده و تا قبل از زمستان به خاک منتقل گرددند، اما از طرف دیگر در آتشسوزی‌های پاییزه و زمستانه سطح خاک بدون پوشش در معرض قرار می‌گیرد و بقایای موجود دچار فرسایش می‌شوند (۱۳).

بررسی اثرات مثبت و منفی آتشسوزی بر اکوسیستم بهویژه بر خصوصیات خاک محققین را بر آن داشته‌تا به دنبال روش‌های جایگزینی، بهجای روش‌های مستقیم و میدانی که عموماً بسیار پرهزینه و وقت‌گیر هستند، باشند. ازجمله روش‌ها و فناوری‌های نوینی که در زمینه منابع طبیعی بسیار پرکاربرد و مفید هستند می‌توان به سنچش از دور تصاویر ماهواره و سیستم اطلاعات جغرافیایی اشاره کرد. اساس سیستم‌های سنچش از دوری بر اندازه‌گیری نوعی از انرژی است که انرژی الکترومغناطیس نامیده می‌شود. این انرژی از طرف اشیاء به سمت سنجنده حرکت می‌کند و توسط سنجنده دریافت

مراقب یکی از بزرگ‌ترین اکوسیستم‌های جهان هستند که تحملین زده می‌شود بیش از ۵۰ درصد مساحت زمین را مراقب و چراگاه‌ها پوشانده‌اند (۱۵) و محتوی بیش از یک‌سوم ذخایر کربن سطح و زیرزمین می‌شوند (۲۳). مراقب جزء آن دسته از ذیست‌بوم‌های طبیعی هستند که بخش مهمی از ذخایر کربن خاک را به خود اختصاص داده‌اند و علاوه بر آن به عنوان ذخیره ژنتیکی بسیار متنوعی، تضمین‌کننده پویایی اکوسیستم می‌باشند. مراقب منابع مهم علوفه دام، زیستگاه ضروری حیات-وحش، تأمین منابع آب، کنترل فرسایش و در صورت مدیریت صحیح تعديل‌کننده فعالیت آتش هستند (۲۲). افق آلی خاک به عنوان مؤثرترین عامل پایداری اکوسیستم‌های مرتعی و جنگلی، لایه محافظ خاک در برابر فرسایش، تنظیم‌کننده درجه حرارت، فراهم‌کننده رویشگاه و مواد غذایی برای موجودات خاکزی، مکان اصلی معدنی شدن عناصر غذایی، ذخیره‌گاه عناصر غذایی و تنظیم‌کننده تبادل آن‌ها بین گیاه و میکروارگانیزم‌ها، پایداری ساختمان خاک و تشکیل خاکدانه است (۲۶).

آتشسوزی یک عامل طبیعی در مراقب به شمار می‌رود که طی آن اکثر پوشش‌های طبیعی موجود می‌شوند. آتشسوزی با سوزاندن پوشش گیاهی سطح خاک، از مقدار علوفه در دسترس می‌کاهد و می‌تواند موجب اثرات منفی و یا مثبت بر خصوصیات خاک و پوشش گیاهی شود (۱۳). تغییر ویژگی‌های فیزیکی، شیمیایی و بیولوژیکی خاک و ساختار ترکیب پوشش گیاهی یکی از بارزترین پیامدهای آتشسوزی بر روی خاک در اکوسیستم‌های طبیعی ازجمله مراقب است (۲۴). تأثیرات غیرمستقیم آتشسوزی شامل تغییراتی می‌شوند که وابسته به تغییرات در پوشش گیاهی است. آتش تجمع مواد خشک را تنظیم می‌کند که این امر سبب کنترل شدت سوختگی گردیده و بر تراکم و ترکیب پوشش گیاهی و به دنبال آن برکیفیت رویشگاه تأثیر می‌گذارد. تأثیرات مستقیم آتشسوزی شامل تغییرات خصوصیات فیزیکی و شیمیایی خاک و کاهش میزان نفوذپذیری خاک سطحی می‌شود (۱۷).

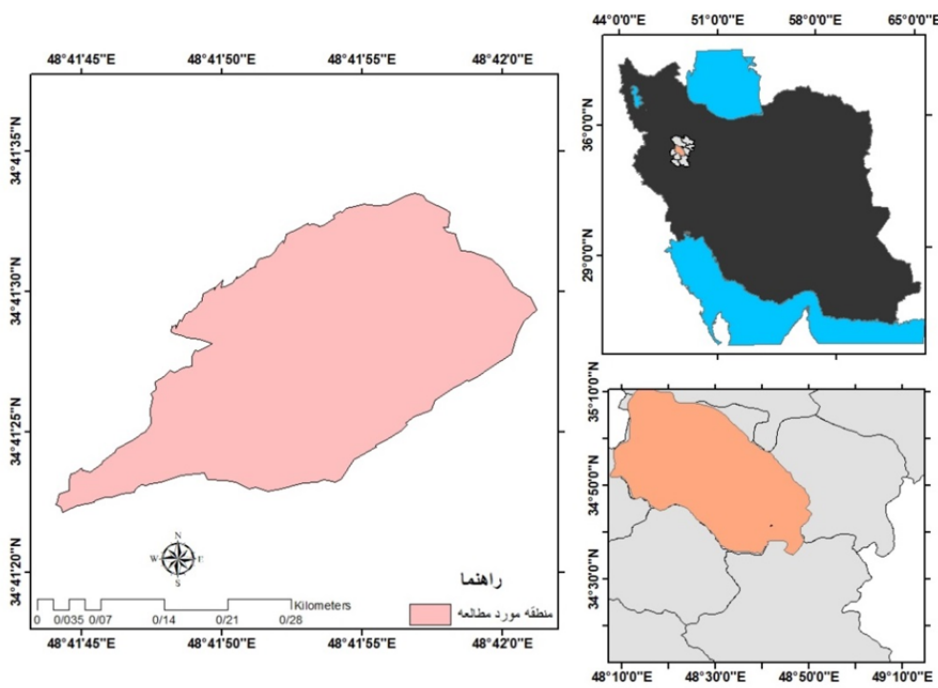
کربن آلی خاک گردیده است. پژوهش حاضر سعی بر این دارد تا با استفاده از سنجش از دور و شاخص های مبتنی بر آن تأثیر آتش بر کربن آلی، اسیدیته و قلیاییت خاک و همچنین مقایسه تأثیر زمانی آتشسوزی بر اکوسیستم مرتعی منطقه صنعتی گندد در شهرستان همدان را مورد بررسی قرار داده و زمینه مناسبی برای مدیریت این پدیده طبیعی بر اکوسیستم (بخصوص مراتع) فراهم نماید.

منطقه موردمطالعه

منطقه موردمطالعه از مراتع ناحیه صنعتی گندد در شهرستان همدان است که فاصله آن از شهر همدان در حدود ۲۵ کیلومتر بوده و مساحت آن برابر با $447/69$ هکتار است. این ناحیه از دیدگاه مدیریت منابع در بخش جنوبی حوزه آبخیز دشت همدان-بهار و خط الراس ارتفاعات الوند و محدوده های مطالعاتی متنوعه ملایر و تویسرکان واقع گردیده است (شکل ۱). بر اساس اطلاعات ثبت شده در ایستگاه هواشناسی سد اکباتان که نزدیک ترین ایستگاه به منطقه مطالعاتی است (ایستگاه سینوپتیک اصلی همدان)، متوسط بارندگی سالانه معادل $324/3$ میلی متر در طول دوره آماری 30 ساله (از سال 1364 تا 1393) بوده که متوسط درجه حرارت منطقه نیز برابر $11/2$ درجه سانتی گراد است و گرم ترین ماه سال مرداد و سرد ترین ماه سال بهمن ماه است. مجموع متوسط تبخیر سالانه (دوره آماری 30 ساله) در ایستگاه سد اکباتان حدود $1858/5$ و حداقل سالانه دوره آماری 2276 میلی متر نیز است.

گردیده و ثبت می گردد (۸). سنجش از دور علاوه بر اینکه مشکل دسترسی به محل و حضور فیزیکی در آن را که لازمه روش های زمینی و سنتی است مرتفع ساخته و آن را به حداقل رسانده است، با ایجاد پوشش خوبی از منطقه موردمطالعه، امکان دید کلی و عامتر از آن را فراهم می سازد (۶). وقوع آتشسوزی در مراتع، تغییر در مقدار مواد آلی و تأثیر بر خصوصیات خاک از جمله عواملی هستند که می توانند بر جذب و انتشار انرژی حرارتی خورشید در سطح زمین تغییر ایجاد کرده و باعث تغییر دمای سطح زمین گرددند (۲۱).

asherfi سعیدلو و رسولی صدقیانی (۱) در پژوهشی اثر آتشسوزی بر مقدار کربن خاک و همچنین میزان pH آن را با استفاده از سنجش از دور بررسی کرده و گزارش نمودند میزان آن اندکی افزایش داشته است، همچنین باگذشت زمان ثابت شده است که کربن آلی خاک می تواند روندی صعودی داشته باشد. از طرفی دای و همکاران (۵) گزارش نمودند در عمق $20-10$ سانتی متری آتشسوزی تأثیری در میزان کربن آلی خاک نداشته است. نظری و همکاران (۱۷) نیز مشخص کردند که سه ماه پس از آتشسوزی درصد کربن آلی خاک به صورت معنی داری کاهش داشته است؛ همچنین حیدری و همکاران (۱۲) در بررسی اثر آتشسوزی بر کربن آلی خاک با سنجش از دور مشخص کردند که در منطقه دچار آتشسوزی نسبت به منطقه شاهد در یک سال و دو سال پس از آتشسوزی میزان کربن آلی خاک کاهش معنی داری داشته است. از آنجاکه اثر آتشسوزی بر خصوصیات فیزیکی و شیمیایی خاک به شدت تحت تأثیر شدت آتشسوزی، رطوبت خاک، اقلیم و پوشش گیاهی است (۲ و ۲۸)، لذا تمام این عوامل منجر به حصول نتایج متفاوت در بررسی تأثیر آتشسوزی بر



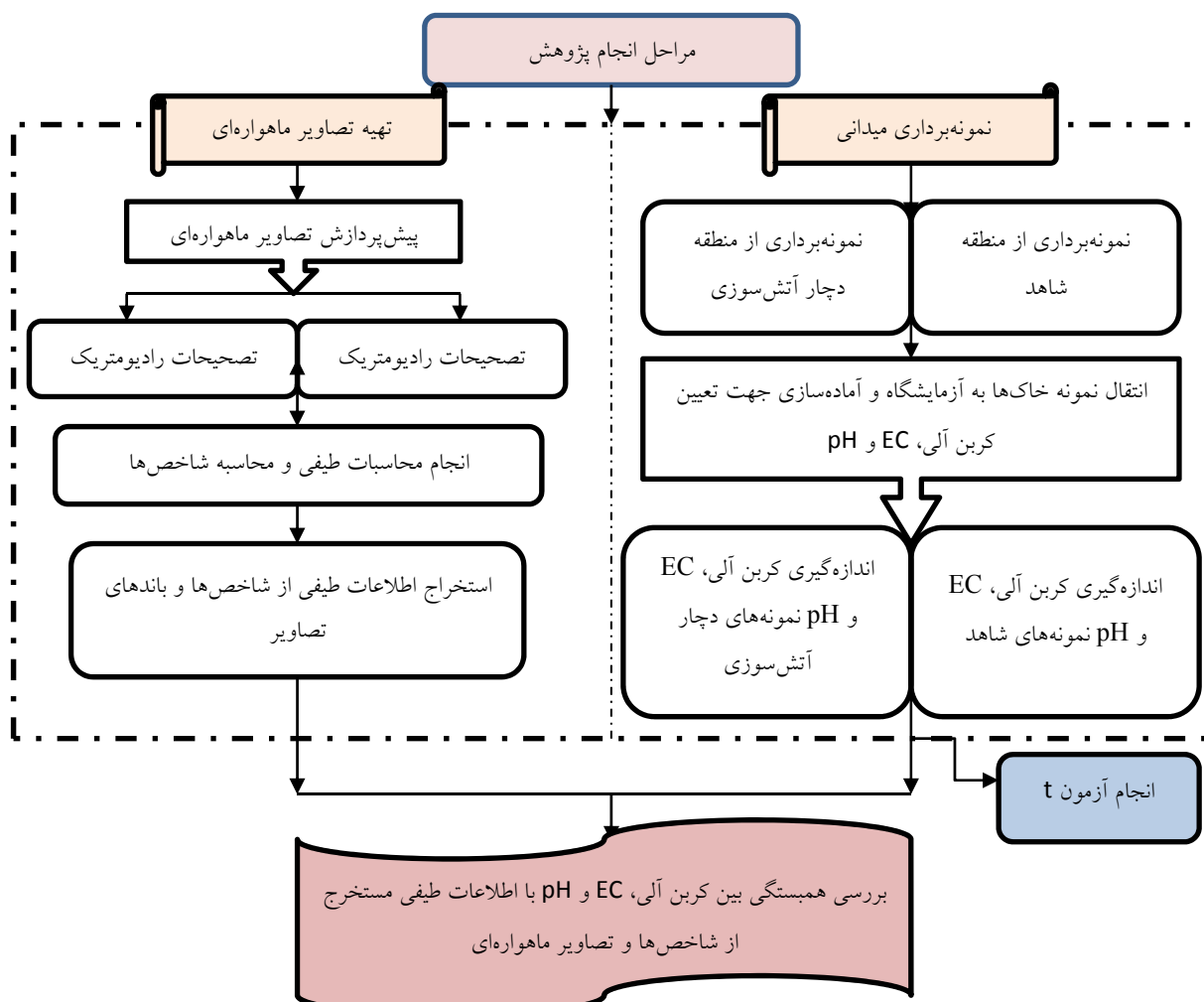
شکل ۱. موقعیت منطقه مطالعاتی ناحیه صنعتی گنبد (همدان)

Fig. 1. Location of the study area of Gonbad industrial area (Hamedan)

سپس ارتباط آماری بین مناطق شاهد با مناطق دچار آتش‌سوزی با آزمون t مستقل موردنبررسی و تجزیه و تحلیل قرار گرفت. همچنین برآورد غیرمستقیم میزان کربن آلی خاک سطحی در دو سایت شاهد و دچار آتش‌سوزی شده و همچنین بررسی روند تغییرات آن‌ها با استفاده از سنجهش از دور تصاویر ماهواره‌ای مورد ارزیابی قرار گرفت. به همین منظور پس از انجام پردازش‌های لازم بر روی داده‌های ماهواره‌ای، مقادیر متناظر بازتاب طیفی هر پیکسل با نقاط نمونه‌برداری در طول موج‌ها و شاخص‌های طیفی مختلف استخراج و میزان همبستگی و ارتباط رگرسیونی هر یک از آن‌ها با میزان کربن با استفاده از نرم‌افزار SAS مورد تجزیه و تحلیل قرار گرفت. نمودار مراحل اجرای این پروژه در شکل ۲ نمایش داده شده است.

روش تحقیق

تحقیق انجام شده به منظور بررسی تغییرات کربن آلی خاک در دو سایت شاهد (بدون آتش‌سوزی) و دچار آتش‌سوزی در مراتع منطقه گنبد شهرستان همدان است. به همین دلیل از هر سایت ۲۰ نمونه خاک از عمق ۱۰–۰ سانتی‌متری (در مجموع ۴۰ نمونه) برداشت و با دستگاه GPS مختصات تک تک نقاط نمونه‌برداری ثبت گردیدند. نمونه‌برداری‌ها در فاصله ۱۵ الی ۲۰ روز پس از وقوع آتش‌سوزی در اوایل مهرماه انجام پذیرفت. نمونه‌ها پس از انتقال به آزمایشگاه جهت اندازه‌گیری میزان کربن آلی خاک با روش و الکلی بلک مورد آزمایش قرار گرفتند (۱۹). همچنین به منظور اندازه‌گیری هدایت الکتریکی خاک (EC) در شرایط کل اشباع از دستگاه EC متر و از دستگاه pH متر در شرایط کل اشباع برای اندازه‌گیری اسیدیته نمونه‌ها استفاده گردید.



شکل ۲. نمودار روند پژوهش

Fig. 2. Flow chart of the research methodology

زمانی مناسب، دارای پوشش کاملی از سطح زمین بوده و برای پایش مطالعات مرتبط با منابع طبیعی کاملاً مناسب است. همچنین داده‌های مرتبط با کربن آلی، pH و EC خاک پس از اندازه‌گیری‌های آزمایشگاهی تعیین گردیده و مورد بررسی قرار گرفته‌اند.

داده‌های موردنیاز

به منظور بررسی تغییرات کربن آلی خاک با استفاده از تصاویر ماهواره‌ای، داده‌های تصاویر لندهای ۸ از وب‌سایت <http://www.earthexplorer.usgs.gov> تهیه گردیدند (جدول ۱) و پس از پردازش‌های لازم مورد استفاده قرار گرفتند. ماهواره لندهای به دلیل قدرت تفکیک رادیومتریک، مکانی و

جدول ۲. مشخصات تصاویر لندست ۸ در منطقه مورد مطالعه ناحیه صنعتی گنبد

Table 2. Landsat 8 images characteristics of the study area of Gonbad industrial area

| تاریخ میلادی ثبت تصویر | تاریخ شمسی ثبت تصویر | ردیف | مسیر عبور | ستجنهاد | ماهواره |
|------------------------|----------------------|------|-----------|----------|---------|
| 8 October 2016 | ۱۳۹۵ مهر ۱۷ | ۳۶ | ۱۶۶ | OLI-TIRS | لندست ۸ |
| 18 April 2017 | ۱۳۹۶ فروردین ۲۹ | ۳۶ | ۱۶۶ | OLI-TIRS | لندست ۸ |
| 11 October 2017 | ۱۳۹۶ مهر ۲۰ | ۳۶ | ۱۶۶ | OLI-TIRS | لندست ۸ |

گیاهی مورداستفاده قرار می‌گیرند. از آنجاکه پوشش گیاهی و بقایای آن اثر مستقیم بر خاک و بهویژه میزان کربن آلی خاک دارد، لذا می‌توان با استفاده از شاخص‌های گیاهی و سنجش از دور برآورد مستقیمی از میزان پوشش گیاهی و متعاقباً به صورت غیرمستقیم برآورده از کربن خاک به دست آورد. شاخص‌های طیفی که در این پژوهش مورداستفاده قرار گرفتند (جدول ۲)، به دلیل بهره بردن از طیف مادون قرمز نزدیک و مؤثر بودن آن در شناسایی مواد آلی خاک و پوشش گیاهی (۶ و ۲۷)، و همچنین طیف نور مرئی شامل قرمز، سبز و آبی در تخمین کربن آلی خاک (۲۰ و ۲۳)، مورداستفاده گرفتند. همچنین نوع روابط و محاسبات طیفی مورداستفاده در شاخص‌ها، بخصوص تقسیم تصاویر که بهویژه به‌منظور بازسازی تفاوت‌ها توسعه یافته‌اند، مورداستفاده قرار گرفتند.

پیش‌پردازش و آماده‌سازی داده‌های مبتنی بر سنجهش از دور تصاویر خام سنجهش از دوری همیشه دارای خطاهایی در مقادیر ثبت شده برای پیکسل‌ها می‌باشد که به‌منظور حذف خطاهای رادیومتریک و اتمسفری تصاویر لندست ۸ با استفاده از فایل متادیتا هر تصویر، مقادیر درجات خاکستری در محیط نرم‌افزار ENVI به مقادیر انعکاسی بالای اتمسفر تبدیل شدند. ماهواره لندست به دلیل قدرت تفکیک رادیومتریک، مکانی و زمانی مناسب، دارای پوشش کاملی از سطح زمین بوده و برای پایش مطالعات مرتبط با منابع طبیعی کاملاً مناسب است. در پیش‌سازی از موارد استفاده از باندهای اصلی تصویر برای استخراج اطلاعات موردنظر کافی نیستند و باید پردازش‌های مختلفی روی آن‌ها صورت گیرد. شاخص‌های گیاهی در سنجهش از دور، آن دسته از شاخص‌ها هستند که بر اساس میزان بازتاب طیفی پدیده بر روی سطح زمین و برای تفکیک پوشش

جدول ۲. مشخصات شاخص‌های طیفی

Table 2. Spectral Indices characteristics

| نام شاخص | نام کامل شاخص | معادله | منبع |
|----------|--|---|------|
| NDVI | Normalized Difference Vegetation Index | $NIR - RED/NIR + RED$ | (۸) |
| SAVI | Soil Adjusted Vegetation Index | $(L + 1) \times NIR - RED/NIR + RED - L$ | (۸) |
| BI | Brightness Index | $\sqrt{RED^2 + NIR^2}$ | (۱) |
| NDBI | Normalize Difference Brightness Index | $TIR - NIR/TIR + NIR$ | (۱) |
| GEMI | Global Environmental Monitoring Index | $eta(1 - 0.25eta) - \left\{ \frac{RED - 0.125}{1 - RED} \right\}$ $eta = \{2(NIR - RED) + 1.5NIR + 0.5RED\}/(NIR - RED - 0.5)$ | (۲۰) |
| VCI | Vegetation Condition Index | $NDVI - NDVI_{min}/NDVI_{max} - NDVI_{min}$ | (۲۵) |
| TCI | Temperature Condition Index | $LST_{max} - LST/LST_{max} - LST_{min}$ | (۲۵) |
| VHI | Vegetation Health Index | $aVCI + (1 - a)TCI$ | (۲۵) |
| NBR | Normalized Burned Ratio | $NIR - SWIR2/NIR + SWIR2$ | (۷) |
| HI | Hue Index | $(2*RED-Green-Blue)/(Green-Blue)$ | |

نتایج

به منظور بررسی های آماری تأثیرات آتشسوزی بر پارامترهای خاک، نرمال بودن داده های خام حاصل از تصاویر SAS سنجش از دوری با از آزمون شاپیرو ویلک در نرم افزار موردن بررسی قرار گرفتند (جدول ۳). نتایج نشان دادند که در هر سه متغیر کربن آلی خاک، pH و هدایت الکتریکی خاک در هر دو سایت شاهد و آتشسوزی شده نرمال بوده و مقادیر p -value بیش از 0.05 را نشان داده است. به عبارت دیگر مقادیر داده ها دارای توزیع نرمال بوده و بدون نیاز به نرمال سازی داده ها می توان از آن ها در آزمون t استفاده نمود.

پس از نمونه برداری از خاک و انتقال نمونه ها به آزمایشگاه، مقادیر کربن آلی، pH و EC هر یک از نمونه خاک ها استخراج شده و پس از محاسبه شاخص ها، مقادیر درجات خاکستری هر شاخص، متناظر با نقطه برداشت زمینی آن نیز در نرم افزار ArcMap استخراج گردیده و داده ها همگی در یک فایل اکسل ذخیره شدند. سپس نرمال بودن داده ها موردن بررسی قرار گرفت. جهت بررسی نرمال بودن داده ها از آزمون شاپیرو ویلک در نرم افزار SAS استفاده گردید.

جدول ۳. آزمون شاپیرو ویلک برای بررسی نرمال بودن داده ها

Table 3. Shapiro-Wilk test for normality test of the data

| تعداد نمونه | میانگین | انحراف معیار | p | متغیر |
|-------------|---------|--------------|------|-------------|
| ۲۰ | ۸/۹۱ | ۳/۳۷ | ۰/۰۶ | شاهد SOC |
| ۲۰ | ۱۰/۸۷ | ۴/۸۹ | ۰/۱۵ | آتشسوزی SOC |
| ۲۰ | ۷/۷۸ | ۰/۳۲ | ۰/۱۵ | pH شاهد |
| ۲۰ | ۷/۹۸ | ۰/۲۲ | ۰/۱۵ | آتشسوزی pH |
| ۲۰ | ۱/۶۳ | ۰/۴۴ | ۰/۱۵ | EC شاهد |
| ۲۰ | ۱/۷۷ | ۰/۳۹ | ۰/۱۵ | آتشسوزی EC |

آتشسوزی تغییر معنی داری در میزان کربن آلی خاک در سایت دچار آتشسوزی نسبت به سایت شاهد در کوتاه مدت ایجاد نکرده است.

نتایج آزمون آماری t مستقل دو منطقه شاهد و دچار آتشسوزی نشان می دهد (جدول ۴) که تفاوت معنی داری در میزان کربن آلی، هدایت الکتریکی و اسیدیته خاک در دو منطقه وجود ندارد ($p > 0.05$)؛ بنابراین می توان نتیجه گرفت که

جدول ۴. نتایج آزمون t مستقل کربن آلی خاک در دو سایت مطالعاتی ناحیه صنعتی گند

Table 4. Results of independent soil organic carbon t-test of two study sites of Gonbad industrial area

| واریانس ها | درجه آزادی | T Value | p $> t $ | متغیر |
|------------|------------|---------|-----------|-------|
| برابر | ۳۸ | -۱/۴۸ | ۰/۱۴۷۴ | pSOC |
| نابرابر | ۳۳/۷ | -۱/۴۸ | ۰/۱۴۸۴ | pSOC |
| برابر | ۳۶ | -۰/۹۶ | ۰/۳۴۲۰ | EC |
| نابرابر | ۳۶ | -۰/۹۷ | ۰/۳۳۹۱ | EC |
| برابر | ۳۸ | -۲/۲۱ | ۰/۰۳۳۴ | pH |
| نابرابر | ۳۳/۵ | -۲/۲۱ | ۰/۰۳۴۲ | pH |

پارامترهای اندازه‌گیری شده خاک، از روش همبستگی پیرسون استفاده شد (جدول ۵).

به منظور بررسی میزان همبستگی بین شاخص‌های طیفی مربوط به تصاویر زمان نمونه‌برداری از عرصه در کوتاه‌مدت و

جدول ۵. همبستگی پیرسون شاخص‌های طیفی در مهر ۱۳۹۵ و پارامترهای خاک

Table 5. Pearson Correlation of spectral indices in October 2016 and soil parameters

| سایت آتش‌سوزی شده | | | سایت شاهد | | |
|-------------------|--------|--------|-----------|----------|----------|
| pH | EC | SOC | pH | EC | SOC |
| -0/032 | 0/040* | 1/00 | 0/030 | 0/017 | 1/00** |
| -0/007 | 1/00 | 0/040* | 0/019 | 1/00** | 0/017 |
| 1 | -0/007 | 0/032 | 1/00** | 0/019 | 0/030 |
| 0/046* | 0/217 | -0/002 | 0/028 | 0/0474* | -0/119 |
| 0/0452* | 0/285 | 0/061 | 0/0265 | 0/0538* | -0/211 |
| -0/069 | -0/149 | -0/175 | 0/0161 | 0/0241 | -0/137 |
| -0/0420 | -0/249 | -0/002 | -0/0273 | -0/0503* | 0/103 |
| 0/0352 | 0/371 | 0/163 | 0/0217 | 0/0524* | -0/0303 |
| 0/0352 | 0/371 | 0/163 | 0/0217 | 0/0524* | -0/0303 |
| -0/0464* | 0/199 | -0/072 | 0/027 | 0/0154 | -0/0228 |
| 0/0352 | 0/371 | 0/163 | 0/0217 | 0/0524* | -0/0303 |
| 0/0329 | 0/375 | 0/158 | 0/0216 | 0/0523* | -0/0304 |
| 0/0279 | 0/873 | 0/054 | 0/075 | -0/020 | -0/0445* |

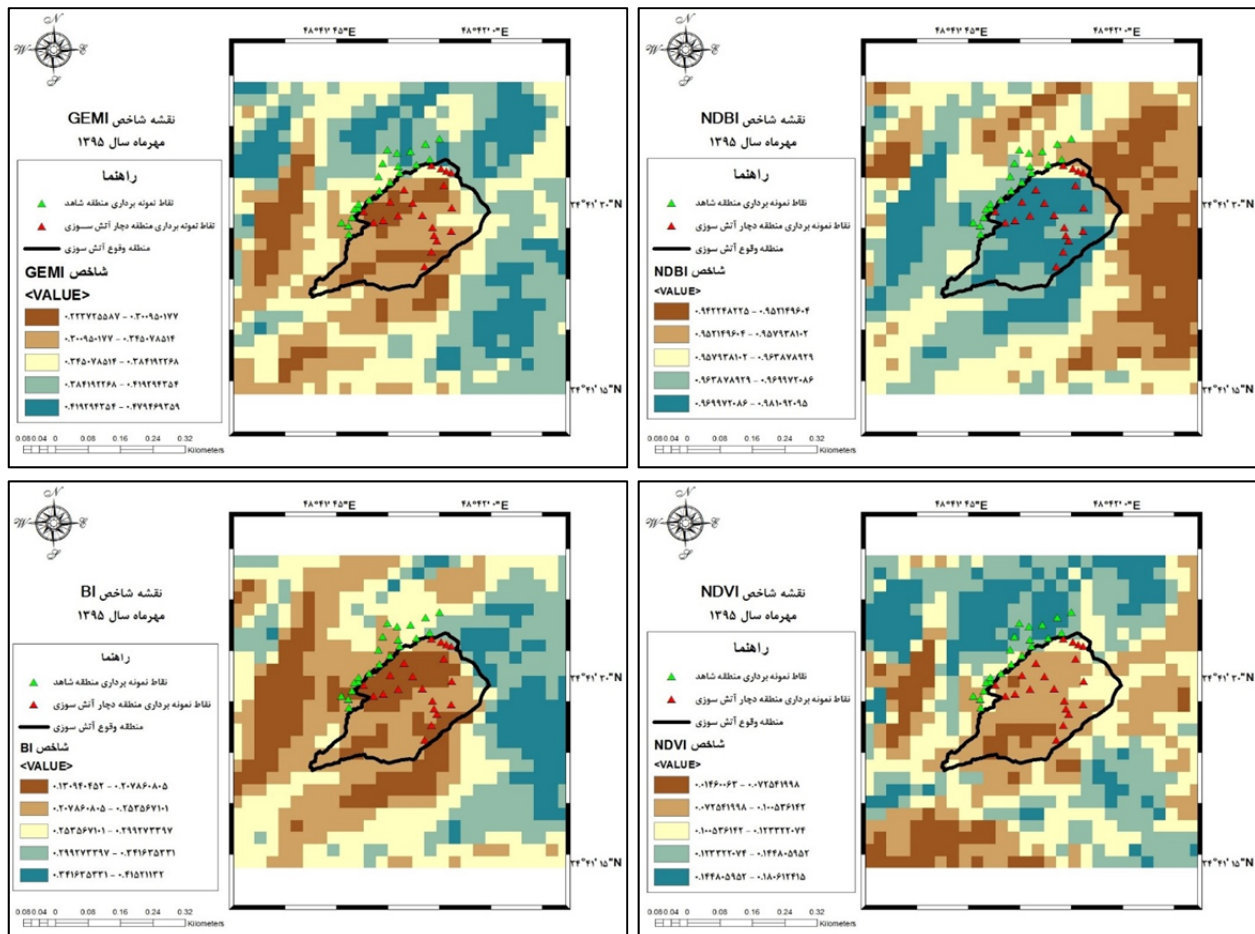
* سطح معنی‌داری ۰/۰۱ ** سطح معنی‌داری ۰/۰۵

VHI و SAVI با مقدار EC در سایت شاهد همبستگی داشتند. در سایت شاهد بین اکثر شاخص‌های طیفی و خاک همبستگی معنی‌داری وجود داشت که پس از آتش‌سوزی این همبستگی در سایت آتش‌سوزی از بین رفته بود. در مورد همبستگی بین pH و شاخص‌های طیفی مشاهده گردید بین برخی از شاخص‌های طیفی و pH همبستگی به وجود آمده است. در این بین همبستگی مثبت معنی‌داری بین شاخص‌های GEMI و BI و pH به ترتیب به میزان ۰/۰۴۶ و ۰/۰۴۵۲ و همچنین همبستگی منفی معنی‌داری بین شاخص TCI و pH به میزان ۰/۰۴۶۴- مشاهده گردید. این نتایج متفاوت در اثر آتش‌سوزی به وجود آمده است که به وضوح قابل مشاهده است. در واقع می‌توان نتیجه گرفت که آتش‌سوزی باعث تغییر بزرگی در میزان انعکاس و انتشار امواج از سطح خاک گردیده است به گونه‌ای که در سایت شاهد شاخص‌ها با EC همبستگی

بدین منظور همبستگی بین شاخص‌ها و پارامترهای خاک در دو زمان متفاوت مورد بررسی قرار گرفت. ابتدا تصویر هم‌زمان بازمان نمونه‌برداری صحرایی تهیه گردید و پس از پردازشات مربوطه، شاخص‌های طیفی برای آن محاسبه گردید و درنهایت میزان بازتاب هر شاخص با توجه به نقاط نمونه‌برداری متناظر استخراج گردید (شکل‌های ۳ و ۴). همبستگی مقادیر حاصل از شاخص‌های طیفی حاصل از تصاویر ماهواره‌ای، با مقادیر داده‌های آزمایشگاهی شامل کربن آلی خاک، pH و هدایت الکتریکی در دو سایت شاهد و آتش‌سوزی با استفاده از آزمون پیرسون انجام گرفت. نتایج حاصل از آزمون همبستگی پیرسون نشان داد که در بین تمام شاخص‌ها طیفی تنها شاخص HI با کربن آلی خاک در کوتاه‌مدت و در منطقه شاهد همبستگی داشته است. همچنین در بین تمام شاخص‌ها، شاخص‌های BI، NDVI، NDBI، SAVI، VCI و TCI مثبت

و pH همبستگی ایجاد گردیده است.

داشتند اما در سایت آتشسوزی همبستگی بین شاخص‌ها و EC به طور کامل از بین رفته است و در عوض بین شاخص‌ها



شکل ۳. نقشه شاخص‌های طیفی GEMI، NDBI، BI و NDVI منطقه مورد مطالعه ناحیه صنعتی گند

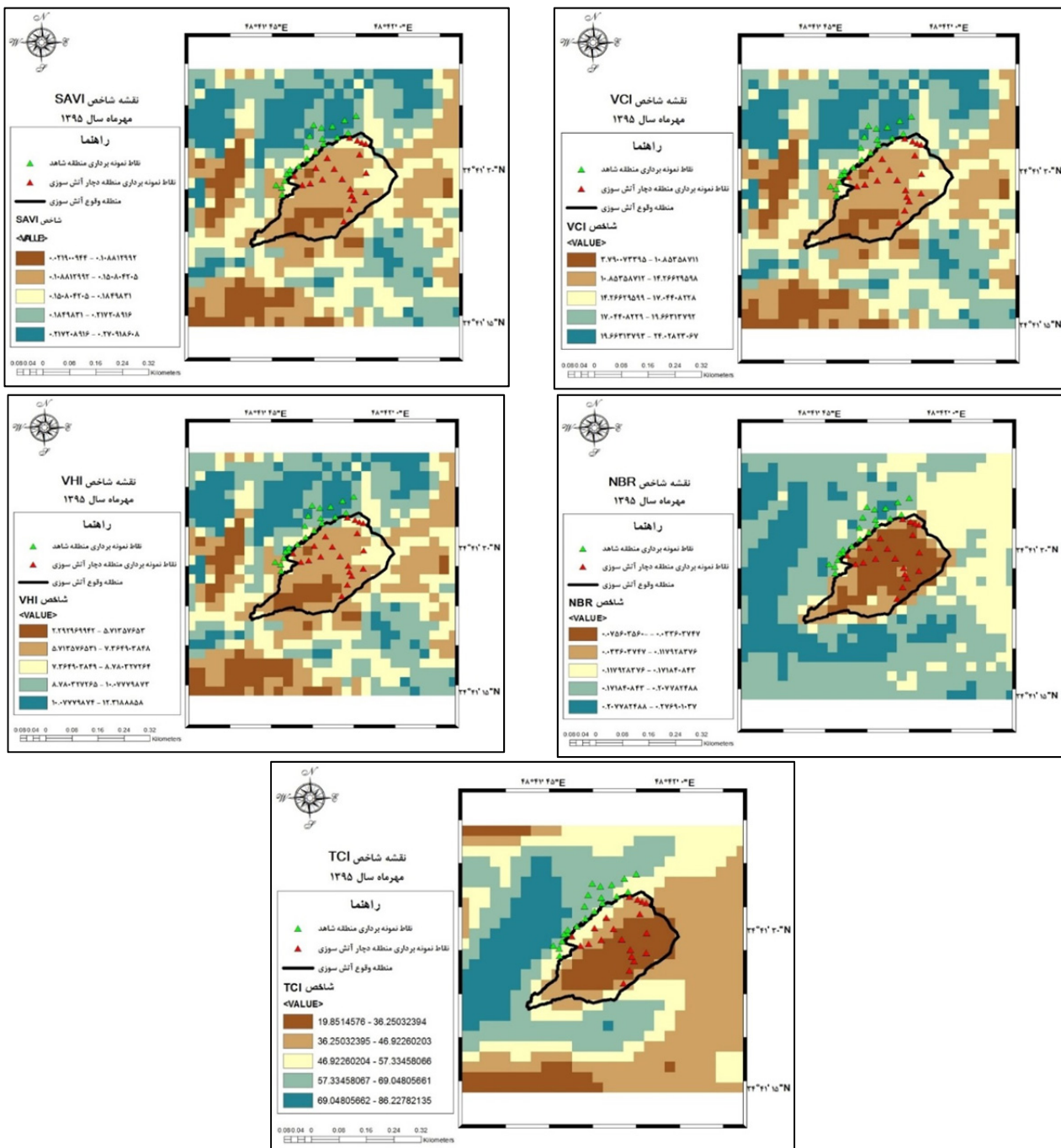
Fig. 3. Map of GEMI, NDBI, BI and NDVI spectral indices of the study area of Gonbad industrial area

آتشسوزی شامل کربن آلی خاک، pH و هدایت الکتریکی، از آزمون همبستگی پیرسون استفاده شد. بر اساس نتایج جدول ۶ هیچ‌یک از شاخص‌های طیفی در سایت شاهد با SOC همبستگی مثبت یا منفی معنی‌داری نداشتند و نتایج بیانگر این موضوع بود که پس از گذشت شش ماه از وقوع آتشسوزی تغییرات کربن خاک به گونه‌ای نبوده است که بتوان با شاخص‌های طیفی روند آن را بررسی کرد. بر اساس نتایج جدول ۶ مشخص گردید که هیچ‌یک از شاخص‌های طیفی در سایت آتشسوزی شده با SOC پس از گذشت شش ماه

در پژوهش‌های گذشته عمده بررسی صورت گرفته، بررسی تغییرات خصوصیات فیزیکی و شیمیایی خاک در اثر آتشسوزی بوده است اما در پژوهش حاضر مشخص گردید که آتشسوزی تأثیر عمده‌ای بر روی میزان جذب، انکاس و انتشار امواج و انرژی از سطح خاک دارد. این امر با توجه به تأثیر درروش پوشش گیاهی می‌تواند به عنوان فاکتور جدیدی در کنار خصوصیاتی که در گذشته بررسی شده‌اند لحاظ گردد. همچنین جهت بررسی میزان همبستگی بین شاخص‌های طیفی فروردین ۱۳۹۶ و پارامترهای خاک در دو سایت شاهد و

آتش‌سوزی چه در ابتدای زمان وقوع و چه پس از گذشت شش ماه از وقوع آن، میزان همبستگی بین شاخص‌های طبیعی و کربن خاک تغییری نکرده و همبستگی مثبت یا منفی مشاهده نشده است.

همبستگی مثبت یا منفی معنی‌داری نداشتند و تغییرات کربن خاک در اثر آتش‌سوزی پس از شش ماه به‌گونه‌ای نبوده است که بتوان با شاخص‌های طبیعی روند آن را بررسی کرد. با مقایسه نتایج جدول‌های ۵ و ۶ مشخص شد که در اثر وقوع



شکل ۴. نقشه شاخص‌های طبیعی SAVI، VCI، VHI، NBR و TCI و منطقه مورد مطالعه ناحیه صنعتی گند

Fig. 4. Map of SAVI, VCI, VHI, NBR and TCI spectral indices of the study area of Gonbad industrial area

سطح پنج درصد بوده که در این بین شاخص NDBI دارای رابطه معکوس و سه شاخص دیگر رابطه مثبتی با میزان شوری خاک داشتند. در مقایسه نتایج مهر ۱۳۹۵ (جدول ۵) با نتایج فروردین ۱۳۹۶ (جدول ۶) در سایت شاهد مشخص گردید که پس از گذشت شش ماه شاخص NBR همبستگی معنی‌داری با میزان EC پیدا کرده است اما شاخص‌های BI و VHI همبستگی خود را ازدست داده‌اند.

در مورد همبستگی بین EC خاک و شاخص‌های طیفی NDBI، NBR، GEMI، NDVI، SAVI و VCI دارای همبستگی معنی‌داری با EC خاک در سایت شاهد بودند. در این بین شاخص‌های GEMI و NBR به ترتیب دارای همبستگی معنی‌داری ۰/۶۰۹ و -۰/۴۸۳ بودند که بیانگر رابطه مستقیم شاخص GEMI و رابطه معکوس شاخص NBR با شوری خاک است. شاخص‌های NDBI، NDVI و SAVI نیز دارای همبستگی معنی‌داری در

جدول ۶. همبستگی پیرسون شاخص‌های طیفی فروردین ۱۳۹۶ و پارامترهای خاک

Table 6. Pearson correlation of spectral indices in April 2017 and soil parameters

| سایت آتشسوزی شده | | | سایت شاهد | | | |
|------------------|---------|---------|-----------|----------|---------|------|
| pH | EC | SOC | pH | EC | SOC | SOC |
| -۰/۰۳۲ | -۰/۵۴۰* | -۱/۰۰** | -۰/۳۰۵ | -۰/۱۹۷ | -۱/۰۰** | EC |
| -۰/۰۳۲ | -۱/۰۰** | -۰/۵۴۰* | -۰/۴۱۹ | -۱/۰۰** | -۰/۱۹۷ | pH |
| -۱/۰۰** | -۰/۰۳۲ | -۰/۰۳۲ | -۱/۰۰** | -۰/۴۱۹ | -۰/۳۰۵ | BI |
| -۰/۷۱۹** | -۰/۳۲۵ | -۰/۱۸۵ | -۰/۲۱۴ | -۰/۴۳۵ | -۰/۱۵۴ | GEMI |
| -۰/۶۵۶** | -۰/۲۵۱ | -۰/۱۸۴ | -۰/۳۰۵ | -۰/۶۰۹** | -۰/۲۶۱ | NDVI |
| -۰/۲۵۲ | -۰/۱۲۰ | -۰/۰۷۲ | -۰/۰۲۳ | -۰/۴۸۳* | -۰/۱۱۷ | NBR |
| -۰/۷۰۶** | -۰/۳۲۰ | -۰/۱۸۱ | -۰/۲۴۷ | -۰/۴۹۶* | -۰/۱۹۰ | VHI |
| -۰/۲۵۸ | -۰/۰۲۳ | -۰/۰۶۱ | -۰/۲۹۷ | -۰/۰۵۸* | -۰/۲۶۸ | SAVI |
| -۰/۲۵۸ | -۰/۰۲۴ | -۰/۰۶۱ | -۰/۲۹۷ | -۰/۰۵۸* | -۰/۲۶۸ | TCI |
| -۰/۶۲۵** | -۰/۰۶۲ | -۰/۰۲۶ | -۰/۰۰۵ | -۰/۰۹۰ | -۰/۰۳۳ | VCI |
| -۰/۲۵۸ | -۰/۰۲۳ | -۰/۰۶۱ | -۰/۲۹۷ | -۰/۰۵۸* | -۰/۰۲۶ | EC |
| -۰/۶۱۴** | -۰/۰۹۷ | -۰/۰۲۵ | -۰/۱۹۰ | -۰/۰۲۶ | -۰/۱۹۷ | HI |
| -۰/۴۸۸ | -۰/۹۶۲ | -۰/۰۹۸۵ | -۰/۱۲۷ | -۰/۰۹۸ | -۰/۳۹۳ | |

* سطح معنی‌داری ۰/۰۱ ** سطح معنی‌داری ۰/۰۵

در بررسی pH نیز مشخص شد که هیچ کدام از شاخص‌ها همبستگی مثبت یا منفی معنی‌داری با pH خاک در سایت شاهد نداشته‌اند و این عدم همبستگی نتایج در جدول ۵ آمده است. همچنین با بررسی همبستگی بین شاخص‌های طیفی و EC خاک مشخص گردید که در سایت آتشسوزی شده برخلاف سایت شاهد همبستگی معنی‌داری وجود ندارد. این نتایج با نتایج موجود در جدول ۵ یکسان هستند که نشان‌دهنده اثر آتشسوزی بر همبستگی بین شاخص‌های طیفی و EC

با توجه به بحث صورت گرفته در مورد شاخص NBR و حضور باند SWIR2 در آن به نظر می‌رسد با گذشت شش ماه از وقوع آتشسوزی، در سایت شاهد تغییراتی به وجود آمده که منجر به ایجاد همبستگی بین این شاخص و EC خاک گردیده است. از آنجاکه مقدار انرژی بازتابی از سطح زمین به عوامل متعددی نظیر رطوبت خاک، تغییر محتوی ماده آلی خاک و پوشش سطح وابسته است لذا باید تأثیر این عوامل را در فصل رویش بر روی بازتاب خاک مدنظر قرارداد.

کوتاه‌مدت در حد شش ماه از بین نرفته و زمان طولانی‌تری برای بازگشت شرایط به حالت طبیعی نیاز است. بررسی همبستگی خصوصیات خاک‌نشان داد در سایت آتش‌سوزی بین EC و کربن آلی خاک همبستگی در سطح ۵ درصد وجود دارد اما کربن با هیچ‌یک از شاخص‌های طیفی همبستگی نداشته است. همچنین نتایج نشان دادند در سایت آتش‌سوزی هیچ‌یک از شاخص‌های طیفی با EC همبستگی نداشته‌اند اما بین pH و شاخص‌های BI، GEMI، NBR، NDBI، TCI و HI همبستگی معنادار وجود داشته است (جدول ۷). در سایت شاهد شاخص‌های GEMI، NDBI، SAVI، NDVI و VCI، VHI همگی با EC همبستگی داشته‌اند درحالی‌که در سایت شاهد هیچ‌یک از شاخص‌ها با pH و SOC همبستگی نداشته‌اند.

خاک است. از طرفی نتایج جدول ۶ نشان دادند که آتش‌سوزی باعث شده است تا بین اکثر شاخص‌های طیفی و pH خاک همبستگی معنی‌داری به وجود بیاید. دراین‌بین شاخص‌های BI و GEMI دارای همبستگی مثبت معنی‌داری در سطح یک درصد و شاخص‌های NDBI، TCI و VHI دارای همبستگی منفی معنی‌داری در سطح یک درصد بودند. بیشترین همبستگی متعلق به شاخص BI به میزان ۰/۷۱۹ و کمترین میزان همبستگی مربوط به شاخص VHI به میزان ۰/۶۱۴ بوده است. همچنین در سایت شاهد بین برخی شاخص‌های طیفی و EC همبستگی وجود داشته که پس از وقوع آتش‌سوزی این همبستگی از بین رفته است و در عوض بین شاخص‌های طیفی و pH همبستگی ایجاد گردیده است. عدم تغییر این نتایج پس از گذشت شش ماه می‌تواند این موضوع را به اثبات برساند که اثرات مثبت و منفی آتش‌سوزی در دوره‌ای

جدول ۷. همبستگی پیرсон شاخص‌های طیفی اثرات یک‌ساله آتش‌سوزی در مهر ۱۳۹۶ و پارامترهای خاک

Table 7. Pearson correlation of spectral indices of one-year effects of fire in October 2017 and soil parameters

| سایت آتش‌سوزی شده | | | سایت شاهد | | | |
|-------------------|--------|--------|-----------|---------|--------|------|
| pH | EC | SOC | pH | EC | SOC | SOC |
| ۰/۰۳۲ | ۰/۵۴۰* | ۱ | ۰/۳۰۵ | ۰/۱۹۷ | ۱ | SOC |
| -۰/۰۰۷ | ۱ | ۰/۵۴۰* | ۰/۴۱۹ | ۱ | ۰/۱۹۷ | EC |
| ۱ | -۰/۰۰۷ | ۰/۰۳۴ | ۱ | ۰/۴۱۹ | ۰/۳۰۵ | pH |
| ۰/۶۵۴** | ۰/۳۷۱ | ۰/۱۷۸ | ۰/۱۴۶ | ۰/۴ | -۰/۰۵۹ | BI |
| ۰/۵۹۸** | ۰/۳۳۱ | ۰/۲۴۱ | ۰/۱۹۰ | ۰/۵۳۲* | -۰/۲۰۲ | GEMI |
| -۰/۶۷۸** | -۰/۰۳۵ | -۰/۲۴۳ | -۰/۰۷۲ | -۰/۲۸۷ | -۰/۱۵۰ | NBR |
| -۰/۶۳۸** | -۰/۳۷۴ | -۰/۱۸۵ | -۰/۱۶۱ | -۰/۴۴۸* | ۰/۱ | NDBI |
| ۰/۳۹۱ | ۰/۳۳۹ | ۰/۲۶۸ | ۰/۱۹۱ | ۰/۵۴۰* | -۰/۲۹۶ | NDVI |
| ۰/۳۹۱ | ۰/۳۳۹ | ۰/۲۶۸ | ۰/۱۹۱ | ۰/۵۴۰* | -۰/۲۹۶ | SAVI |
| -۰/۰۵۸** | ۰/۰۰۹ | -۰/۲۱۴ | -۰/۰۵۷ | -۰/۲۹ | -۰/۱۴۱ | TCI |
| ۰/۳۹۱ | ۰/۲۲۵ | ۰/۲۶۸ | ۰/۱۸۵ | ۰/۵۲۰* | -۰/۲۹۶ | VCI |
| ۰/۳۸۹ | ۰/۲۲۵ | ۰/۲۶۷ | ۰/۱۸۵ | ۰/۵۲۰* | -۰/۲۹۶ | VHI |
| -۰/۰۶۲** | -۰/۲۷۱ | -۰/۱۶۲ | ۰/۱۳۰ | ۰/۱۰۶ | ۰/۰۵۴ | HI |

* سطح معنی‌داری ۰/۰۱ ** سطح معنی‌داری ۰/۰۵

استفاده گردید. با توجه به اینکه در بین تمام شاخص‌های طیفی تنها شاخص HI دارای همبستگی مناسب با کربن آلی در خاک

به منظور بررسی و مقایسه میانگین شاخص‌هایی که دارای همبستگی مناسب بوده‌اند از آزمون آنالیز واریانس یک‌طرفه

شاخص‌های طیفی در سه دوره مورد مطالعه نشان داد که تنها در شاخص HI میانگین بازتاب طیفی در سه دوره باهم برابر بوده است (جدول ۹).

در سایت شاهد بود لذا آنالیز واریانس تنها برای این شاخص در هر سه دوره مورد مطالعه صورت گرفت (جدول ۸). همچنین بررسی نتایج آنالیز واریانس یک‌طرفه برای مقایسه

جدول ۸. تحلیل واریانس یک‌طرفه برای مقایسه شاخص HI در سه دوره مهر ۱۳۹۵، فروردین ۱۳۹۶ و مهر ۱۳۹۶ در سایت شاهد

Table 8. One-way ANOVA to compare HI index in three periods of October 2016, April 2017 and October 2017 of non-burned site

| P | F | انحراف استاندارد | میانگین | دوره مورد مطالعه | |
|-------|------|------------------|---------|------------------|------|
| | | | | ۲۹/۰۳ | ۹/۶۹ |
| ۰/۱۱۹ | ۲/۲۱ | ۱۳/۳۷ | ۵/۳۴ | فروردین ۱۳۹۶ | |
| | | ۳۹/۶۴ | -۱۴/۵۴ | مهر ۱۳۹۶ | |

جدول ۹. تحلیل واریانس یک‌طرفه برای مقایسه شاخص‌های در سه دوره مهر ۱۳۹۵، فروردین ۱۳۹۶ و مهر ۱۳۹۶ در سایت آتشسوزی

Table 9. One-way ANOVA to compare indices in three periods of October 2016, April 2017 and October 2017 of burned site

| p | F | انحراف استاندارد | میانگین | دوره مورد مطالعه | شاخص‌ها |
|---|---------|------------------|---------|------------------|---------|
| . | ۴۴/۵۲ | ۰/۰۲۴ | ۰/۲۳ | مهر ۱۳۹۵ | |
| | | /۰۱۹ | ۰/۲۰ | فروردین ۱۳۹۶ | BI |
| | | ۰/۰۲۵ | ۰/۲۷ | مهر ۱۳۹۶ | |
| | ۶/۶۴ | ۰/۰۱۶ | ۰/۳۵ | مهر ۱۳۹۵ | |
| | | ۰/۰۲۳ | ۰/۳۴ | فروردین ۱۳۹۶ | GEMI |
| | | ۰/۰۲۲ | ۰/۳۶ | مهر ۱۳۹۶ | |
| . | ۸۲/۲۰ | ۰/۰۲۳ | ۰/۰۳۰ | مهر ۱۳۹۵ | |
| | | ۰/۰۲۶ | ۰/۰۵۰ | فروردین ۱۳۹۶ | NBR |
| | | ۰/۰۱۱ | ۰/۱۱۴ | مهر ۱۳۹۶ | |
| | ۳۱/۱۹ | ۰/۰۰۰۱ | ۰/۹۹۸ | مهر ۱۳۹۵ | |
| | | ۰/۰۰۰۱ | ۰/۹۹۸ | فروردین ۱۳۹۶ | NDBI |
| | | ۰/۰۰۰۱ | ۰/۹۹۸ | مهر ۱۳۹۶ | |
| . | ۲۰/۹۱ | ۰/۰۰۷ | ۰/۱۱ | مهر ۱۳۹۵ | |
| | | ۰/۰۱۹ | ۰/۱۳ | فروردین ۱۳۹۶ | NDVI |
| | | ۰/۰۱۱ | ۰/۱۰ | مهر ۱۳۹۶ | |
| | ۲۰/۹۱ | ۰/۰۱ | ۰/۱۷ | مهر ۱۳۹۵ | |
| | | ۰/۰۲ | ۰/۱۹ | فروردین ۱۳۹۶ | SAVI |
| | | ۰/۰۱ | ۰/۱۵ | مهر ۱۳۹۶ | |
| . | ۲۵۱/۱۱۸ | ۵/۷۱ | ۱۵/۹۰ | مهر ۱۳۹۵ | |
| | | ۴/۷۵ | ۳۰/۹۵ | فروردین ۱۳۹۶ | TCI |
| | | ۵/۶۵ | ۱۵/۱۴ | مهر ۱۳۹۶ | |
| | ۱۰۶۱/۹۹ | ۱/۱۳ | ۴۹/۵۸ | مهر ۱۳۹۵ | |
| | | ۳/۳۲ | ۵۲/۶۹ | فروردین ۱۳۹۶ | VCI |
| | | ۱/۱ | ۴۹/۶۵ | مهر ۱۳۹۶ | |

ادامه جدول ۹.

Cont. Table 9.

| | | | | | |
|-------|--------|------|-------|--------------|-----|
| | ۶۴۶/۳۶ | ۳/۱۵ | ۳۲/۷۴ | مهر ۱۳۹۵ | |
| | | ۲/۷۶ | ۴۱/۸۲ | فروردین ۱۳۹۶ | VHI |
| | | ۳/۲۱ | ۹۴/۱۲ | مهر ۱۳۹۶ | |
| ۰/۲۸۷ | ۱/۲۷۷ | ۹/۲۳ | -۲/۶۹ | مهر ۱۳۹۵ | |
| | | ۶/۰۲ | ۶/۶ | فروردین ۱۳۹۶ | HI |
| | | ۹/۷۴ | ۲/۸۲ | مهر ۱۳۹۶ | |

سوزی در منطقه تأثیر عمدہ‌ای بر بازتاب طیفی خاک سطحی داشته بهنحوی که پس از آتش‌سوزی در کوتاه‌مدت همبستگی شاخص HI با کربن آلی خاک از بین رفته است. با توجه به پژوهش‌های مطرح شده و نتایج تحقیق حاضر به نظر نکته اصلی در مورد تأثیر آتش‌سوزی بر کربن آلی خاک گذشت زمان و فرصت به خاک برای تغییر و تحول است.

در بررسی شرایط EC و pH خاک در دو سایت شاهد و آتش‌سوزی شده نتایج متفاوتی به دست آمد. با توجه به اینکه به جز شاخص‌های HI، NBR و TCI سایر شاخص‌ها با مقدار EC در سایت شاهد همبستگی داشتند لذا باید علت را در نوع محاسبات باندی و طیف طول‌موج‌های مورداستفاده در شاخص‌ها جستجو کرد. با بررسی تمام شاخص‌ها مشخص شد آنچه بین آن‌ها مشترک است وجود باندهای قرمز (با طول‌موج ۰/۶۴ تا ۰/۶۷ میکرومتر) و مادون‌قرمز نزدیک (با طول‌موج ۰/۸۵ تا ۰/۸۸ میکرومتر) است. به نظر این دو طیف طول‌موج که در تمام شاخص‌های دارای همبستگی به‌طور مستقیم یا غیرمستقیم حضور دارند، با میزان EC خاک همبستگی بالایی دارند. از آنجاکه EC نیز خود در اثر املاح محلول خاک تغییر می‌کند درنتیجه می‌توان استنتاج کرد که تغییرات املاح محلول خاک را می‌توان با طول‌موج‌های قرمز و مادون‌قرمز بررسی کرد (۲۸). از طرفی تجزیه و تحلیل خاک‌های مختلف نشان داده است که پس از وقوع آتش‌سوزی pH خاک می‌تواند تا سه واحد افزایش یابد (۲). این افزایش به دلیل تولید اکسیدهای سدیم و پتاسیم، هیدروکسیدها و کربنات‌ها است. از آنجاکه محیط خاک همانند یک بافر قوی عمل می‌کند و تغییرات pH

بحث و نتیجه‌گیری

تحقیق انجام شده به منظور بررسی تغییرات کربن آلی خاک در دو سایت شاهد و آتش‌سوزی شده در مراتع منطقه گند شهرستان همدان بوده است. مطابق با بررسی‌های صورت گرفته مشخص گردید که ذخیره کربن آلی خاک در مراتع آتش‌سوزی شده با مراتع شاهد دارای تفاوت معنی‌داری نیست. تغییر شکل و تثبیت مواد آلی خاک در اثر آتش توسط محققین زیادی موردنرسی و توجه قرار گرفته است (۱۱ و ۱۸)، اما تبدیل و دگرگونی ماده آلی خاک در اثر آتش‌سوزی، اغلب منجر به نتایج ناهمگون و متفاوتی گردیده است. همچنین در بررسی همبستگی بین شاخص‌های طیفی و کربن آلی خاک مشخص گردید تنها شاخص HI با کربن آلی خاک در سایت شاهد معنی‌دار بوده است اما در سایت دچار آتش‌سوزی هیچ‌گونه همبستگی مشاهده نشده است. این امر را می‌توان به بررسی طیف طول‌موج‌های مرئی آبی و سبز در رابطه ریاضی این شاخص بررسی کرد زیرا تنها در این شاخص از طیف طول‌موج سبز و آبی استفاده گردیده است. موندال و همکاران (۱۶) با استفاده از شاخص‌های طیفی اقدام به تخمین میزان کربن آلی خاک نمودند و با استفاده از روش‌های تلفیقی نتایج رضایت‌بخشی به دست آورند. با توجه به نتایج سایر محققین (۲، ۵، ۱۲، ۱۷ و ۲۸) به نظر می‌رسد تخمین کربن آلی خاک با استفاده از سنچش از دور دارای پیچیدگی‌های خاصی است. از آنجاکه کربن آلی خاک با بیشترین تأثیر خود را بر روی رنگ خاک می‌گذارد، لذا اگر مقدار آن کم باشد با استفاده از سنچش از دور امکان تخمین آن ضعیف است (۱۴). وقوع آتش-

- 1879-1881.
doi:<https://doi.org/10.1016/j.soilbio.2005.02.021>
6. Dehni A, Lounis M. 2012. Remote sensing techniques for salt affected soil mapping: application to the Oran region of Algeria. *Procedia Engineering*, 33: 188-198. doi:<https://doi.org/10.1016/j.proeng.2012.01.1193>.
 7. Escuin S, Navarro R, Fernandez P. 2008. Fire severity assessment by using NBR (Normalized Burn Ratio) and NDVI (Normalized Difference Vegetation Index) derived from LANDSAT TM/ETM images. *International Journal of Remote Sensing*, 29(4): 1053-1073. doi:<https://doi.org/10.1080/01431160701281072>.
 8. Fatemi SB, Rezaie Y. 2018. Principles of Remote Sensing. Azadeh Publisher Tehran. 350 p. <https://isa.ir/s/mfaotF>.
 9. Flynn R, Haynes R, O'connor T. 2003. Burning causes long-term changes in soil organic matter content of a South African grassland. *Soil Biology and Biochemistry*, 35(5): 677-687. doi:[https://doi.org/10.1016/S0038-0717\(03\)00054-3](https://doi.org/10.1016/S0038-0717(03)00054-3).
 10. Gholami P, Ghorbani J, Abbasi H. 2015. Effect of fire vegetation on some properties of soil in rangelands of Bam national park in Shiraz. *Natural Ecosystems of Iran*, 5(2): 41-50. <https://www.sid.ir/en/Journal/ViewPaper.aspx?ID=455022>. (In Persian).
 11. González-Pérez JA, González-Vila FJ, Almendros G, Knicker H. 2004. The effect of fire on soil organic matter-a review. *Environment International*, 30(6): 855-870. doi:<https://doi.org/10.1016/j.envint.2004.02.003>.
 12. Heidary J, Ghorbani Dashtaki S, Raiesi F, Tahmasebi P. 2014. Pool and dynamics of soil carbon after firing the semi steppe rangelands of Chaharmahal and Bakhtiari. *Water and Soil Science*, 23(4): 251-264. https://water-soil.tabrizu.ac.ir/mobile/article_901.html?lang=en. (In Persian).
 13. Knicker H. 2007. How does fire affect the nature and stability of soil organic nitrogen and carbon? A review. *Biogeochemistry*, 85(1): 91-118. doi:<https://doi.org/10.1007/s10533-007-9104-4>.
 14. Mirzaee S, Ghorbani-Dashtaki S, Mohammadi J, Asadi H, Asadzadeh F. 2016. Spatial variability of soil organic matter using remote sensing data. *Catena*, 145: 118-127. doi:<https://doi.org/10.1016/j.catena.2016.05.023>.
 15. Mohammadian A, Borujeni E, Ebrahimi A, Tahmasebi P, Naghipour AA. 2020. Effect of integrated fire period and intensity grazing on plant species diversity in the semi-steppe rangeland of Chaharmahal and Bakhtiari province. *Iranian Journal of Range and Desert Research*, 27(1): 84-97.

در آن به سختی رخ می‌دهد (۱۹). لذا با وقوع آتش‌سوزی‌های پراکنده و یا در زمان کوتاهی نمی‌توان شاهد تغییرات گسترده در pH خاک بود. هنگامی که pH خاک میل به سمت قلیایی بودن می‌کند، با آزاد شدن یون‌های H^+ مقادیر pH به سمت خشی شدن میل می‌کند و بالعکس هنگامی که شرایط محلول خاک میل به سمت اسیدی شدن می‌کند یون‌های $-OH^-$ و Cl^- کربنات به درون محلول خاک آزادشده و pH محلول را به سمت خشی شدن سوق می‌دهند. درنهایت با توجه به شرایط محیطی، اقلیم، شبیب منطقه، بافت و ساختمان خاک و عوامل مرتبط با آتش‌سوزی نظیر شدت و مدت آن، مقدار کربن خاک تغییر می‌کند. برای مثال در صورت وقوع آتش‌سوزی متوسط شرایط برای رویش مجدد پوشش گیاهی سریع‌تر فراهم گردیده است اما در صورت وقوع آتش‌سوزی‌های شدید به طور کلی تمام لایه آلی سطح خاک از بین رفته است و به مرور کربن کاهش داشته است. همچنین روش‌های دورسنجی نیز با توجه به توانایی ثبت انعکاس طیفی پدیده‌های سطح زمین نظیر تغییر در رنگ خاک می‌توانند به عنوان ابزاری مفید در برآورده تغییرات کربن خاک مورد بررسی استفاده قرار گیرند.

References

1. Ashrafi-Saeidlou S, Rasouli-Sadaghiani MH. 2015. The effects of fire on soil organic carbon quantity and nutrients availability in Sardasht Oak forests. *Applied Soil Research*, 2(2): 28-39. <https://doi.org/10.17221/17213/12018-JFS>. (In Persian).
2. Caon L, Vallejo VR, Ritsema CJ, Geissen V. 2014. Effects of wildfire on soil nutrients in Mediterranean ecosystems. *Earth-Science Reviews*, 139: 47-58. doi:<https://doi.org/10.1016/j.earscirev.2014.09.001>.
3. Certini G. 2005. Effects of fire on properties of forest soils: a review. *Oecologia*, 143(1): 1-10. doi:<https://doi.org/10.1007/s00442-004-1788-8>.
4. Chansuk U. 1990. Effects of fire frequencies on soil properties in dry dipterocarp forest at Sakaerat, Changwat Nakhon Ratchasima. <https://agris.fao.org/agris-search/search.do?recordID=TH9520517>.
5. Dai X, Boutton T, Glaser B, Ansley R, Zech W. 2005. Black carbon in a temperate mixed-grass savanna. *Soil Biology and Biochemistry*, 37(10):

- [\(In Persian\).](https://www.cabdrect.org/cabdrect/abstract/20203321071)
16. Mondal A, Khare D, Kundu S, Mondal S, Mukherjee S, Mukhopadhyay A. 2017. Spatial soil organic carbon (SOC) prediction by regression kriging using remote sensing data. *The Egyptian Journal of Remote Sensing and Space Science*, 20(1): 61-70. doi:<https://doi.org/10.1016/j.ejrs.2016.06.004>.
 17. Nazari F, Hosseini V, Shabanian N. 2012. Effect of fire severity on organic carbon, total nitrogen and available phosphorus of forest soils (Case study: Marivan). *Iranian Journal of Forest and Poplar Research*, 20(1): 25-37. [\(In Persian\).](https://www.cabdrect.org/cabdrect/abstract/20133071198)
 18. Neary DG, Klopatek CC, DeBano LF, Ffolliott PF. 1999. Fire effects on belowground sustainability: a review and synthesis. *Forest Ecology and Management*, 122(1-2): 51-71. doi:[https://doi.org/10.1016/S0378-1127\(99\)00032-8](https://doi.org/10.1016/S0378-1127(99)00032-8)
 19. Pansu M, Gautheyrou J. 2007. Handbook of soil analysis: mineralogical, organic and inorganic methods. Springer Science & Business Media. <https://doi.org/10.1017/S0014479707005042>.
 20. Pinty B, Verstraete M. 1992. GEMI: a non-linear index to monitor global vegetation from satellites. *Vegetatio*, 101(1): 15-20. doi:<https://doi.org/10.1007/BF00031911>.
 21. Rani M, Kumar P, Pandey PC, Srivastava PK, Chaudhary B, Tomar V, Mandal VP. 2018. Multi-temporal NDVI and surface temperature analysis for Urban Heat Island inbuilt surrounding of sub-humid region: A case study of two geographical regions. *Remote Sensing Applications: Society and Environment*, 10: 163-172. doi:<https://doi.org/10.1016/j.rsase.2018.03.007>.
 22. Rigge M, Homer C, Cleeves L, Meyer DK, Bunde B, Shi H, Xian G, Schell S, Bobo M. 2020. Quantifying western US rangelands as fractional components with multi-resolution remote sensing and in situ data. *Remote Sensing*, 12(3): 412. doi:<https://doi.org/10.3390/rs12030412>.
 23. Schuman G, Janzen H, Herrick J. 2002. Soil carbon dynamics and potential carbon sequestration by rangelands. *Environmental Pollution*, 116(3): 391-396. doi:[https://doi.org/10.1016/S0269-7491\(01\)00215-9](https://doi.org/10.1016/S0269-7491(01)00215-9).
 24. Shi H, Rigge M, Homer CG, Xian G, Meyer DK, Bunde B. 2018. Historical cover trends in a sagebrush steppe ecosystem from 1985 to 2013: links with climate, disturbance, and management. *Ecosystems*, 21(5): 913-929. doi:<https://doi.org/10.1007/s10021-017-0191-3>.
 25. Sholihah RI, Trisasonko BH, Shiddiq D, La Ode SI, Kusdaryanto S, Panuju DR. 2016. Identification of agricultural drought extent based on vegetation health indices of landsat data: case of Subang and Karawang, Indonesia. *Procedia Environmental Sciences*, 33: 14-20. doi:<https://doi.org/10.1016/j.proenv.2016.03.051>.
 26. Verma S, Jayakumar S. 2012. Impact of forest fire on physical, chemical and biological properties of soil: A review. *Proceedings of the International Academy of Ecology and Environmental Sciences*, 2(3): 168-176. [http://www.iaeess.org/publications/journals/piaeess/articles/2012-2012\(2013\)/impact-of-forest-fire.pdf](http://www.iaeess.org/publications/journals/piaeess/articles/2012-2012(2013)/impact-of-forest-fire.pdf).
 27. Wang B, Waters C, Orgill S, Gray J, Cowie A, Clark A, Li Liu D. 2018. High resolution mapping of soil organic carbon stocks using remote sensing variables in the semi-arid rangelands of eastern Australia. *Science of the Total Environment*, 630: 367-378. doi:<https://doi.org/10.1016/j.scitotenv.2018.02.204>.
 28. Zhang Y, Biswas A. 2017. The effects of forest fire on soil organic matter and nutrients in boreal forests of North America: A review. *Adaptive Soil Management: From Theory to Practices*: 465-476. doi:https://doi.org/10.1007/978-981-10-3638-5_21.



RS & GIS for Natural Resources (Vol. 12/ Issue 3) Autumn 2021

Indexed by ISC, SID, Magiran, Noormags, Civilica, Google Scholar

journal homepage : www.girs.iaubushehr.ac.ir



Original
paper

Investigation of firing effect in rangelands on soil organic carbon changes using remotely sensed based indices

Somayeh Saati Zarei, Behnaz Attaeian

Received: 24 January 2021 / Accepted: 13 March 2021

Available online 23 September 2021

Abstract

Background and Objective Rangelands are one of the natural ecosystems that have an important part of soil carbon reservoirs and also, as very diverse genetic reservoirs guarantee the dynamics of the ecosystem. Fire is a natural factor in rangelands burning most of the existing natural cover. Rangeland fires directly alter soil microbial activity by burning soil microorganisms and indirectly by reducing organic matter, altering soil organic matter quality and other soil properties. Investigating the positive and negative effects of fire on ecosystems, especially on soil properties, has led researchers to look for alternative methods, instead of direct methods, which are generally very costly and time-consuming. One of the new methods and technologies that are very useful in the field of natural resources is satellite remote sensing. The purpose of this study was to investigate the short-term effect of fire on organic carbon, acidity, and electrical conductivity of rangeland soils in the Gonbad region of Hamadan, and to investigate the capability of remotely sensed data in the indirect estimation of soil surface carbon in semi-arid rangelands after the fire.

S. Saati Zarei¹, B. Attaeian()²

1. MSc Student of Rangeland Management, Faculty of Natural Resources and Environment, University of Malayer, Iran
2. Assistant Professor, Department of Nature Engineering, Faculty of Natural Resources and Environment, University of Malayer, Iran

e-mail: attaeian94@gmail.com

<http://dorl.net/dor/20.1001.1.26767082.1400.12.1.1.2>

Materials and Methods In this study, 20 soil samples were taken from each site from a depth of 0-10 cm (40 samples in total) and the coordinates of each sampling point were recorded with a GPS device. Sampling was performed 15 to 20 days after the fire in early October. After transferring to the laboratory, the samples were used to measure the amount of soil organic carbon. Then, the statistical relationship between non-burned areas and burned areas was examined and analyzed by an independent t-test. Indirect estimation of soil surface organic carbon at non-burned and burned sites was also investigated and their changes were evaluated using remote sensing satellite imagery. For this purpose, after performing the pre and post-processing on satellite data, the corresponding values of spectral reflectance of each pixel with sampling points at different wavelengths and spectral indices were extracted, and the correlation and regression equation of indices with the Carbon reservoirs were analyzed.

Results and Discussion The results of the Pearson correlation test showed that among all spectral indices, only the HI index was correlated with soil organic carbon in the short time and in the non-burned site. Besides, among all indices, BI, NDBI, NDVI, SAVI, VCI, and VHI indices were correlated with the EC value in the non-burned site. At the non-burned site, there was a significant correlation between most spectral indices and soil EC, which was eliminated after the fire at the burned site. Regarding the correlation between pH and spectral indices, it was observed that there is a correlation between some spectral indices and pH. As a matter of fact, it can be concluded that the fire has caused a large change in

the rate of reflection and propagation of waves from the soil surface so that in the non-burned site, the indices were correlated with EC, but in the burned site, the correlation between indices and EC was completely eliminated, and instead, a correlation has been established between the indices and the pH. Furthermore, none of the spectral indices in April 2017 at the non-burned site had a significant positive or negative correlation with soil organic carbon, and the results showed that after six months of the fire, the soil carbon changes were not such that the spectral indices could be examined its process. Comparing the results of October 2016 with the results of April 2017 on the non-burned site, it was found that after six months, the NBR index has found a significant correlation with the EC rate, but the BI and VHI indices have lost their correlation. According to the NBR index and the SWIR2 band, it seems that after six months from the occurrence of the fire, changes have occurred in the control site, which has led to a correlation between this index and soil EC. Since the amount of reflected energy from the earth's surface depends on several factors such as soil moisture, changes in soil organic matter content, and surface cover, so the effect of these factors on the soil reflectance should be considered in the growing season. Failure to change these results after six months can prove that the positive and negative effects of the fire have not disappeared in a short period of six months and a longer time is needed for the situation to return to normal.

Conclusion According to the results, it was found that soil organic carbon reservoirs in burned rangelands in comparison with non-burned rangelands is not significantly different. Deformation and stabilization of soil organic matter due to fire have been studied by many researchers, but the transformation of soil organic matter by fire has often led to heterogeneous and different results. At a depth of 10-20 cm, the fire was found to have no effect on soil organic carbon content, but other researchers found that 6 months after the fire, the amount of carbon in the burned soils increased compared to the non-burned soils. It was also found that the percentage of soil organic carbon

decreased significantly three months after the fire. Moreover, in another study on the effect of fire on soil organic carbon, it was found that in the area affected by the fire compared to the control area in one year and two years after the fire, the amount of soil organic carbon has decreased significantly. Since the effect of fire on the physical and chemical properties of soil is strongly influenced by fire intensity, soil moisture, climate, and vegetation, so all these factors have led to different results in investigating the effect of fire on soil organic carbon. Due to environmental conditions, climate, the slope of the area, soil texture and structure, and factors related to fire such as its intensity and duration, the amount of soil carbon has changed. For example, in the event of a medium-sized fire, the conditions for vegetation regrowth are faster, but in the event of a severe fire, the entire organic layer of the soil surface is generally removed and carbon is reduced over time. Also, in examining the correlation between spectral indices and soil organic carbon, it was found that only the HI index with soil organic carbon was significant at the non-burned site, but no correlation was observed at the burned site. This can be examined by examining the spectrum of visible blue and green wavelengths in the mathematical relationship of this index because only in this index the green and blue wavelength spectrum have been used. According to the results of other researchers, it seems that estimating soil organic carbon using remote sensing has certain complexities. Since soil organic carbon has the greatest impact on soil color, it is difficult to estimate it using remotely sensed data if its amount is low. The occurrence of fire in the region has a major impact on the spectral reflectance of surface soil so that after the fire in a short time the correlation of HI index with soil organic carbon is lost. According to the results of the present research, it seems that the main point about the impact of fire on soil organic carbon is the time and the opportunity for soil to change.

Keywords: Firing, Rangeland, Soil organic carbon, Spectral indices, Remote sensing